

واکاوی تاثیر شهر بر تغییرات سالانه دما در شمال شرق ایران

دربافت مقاله: ۹۱/۱۰/۱۷ پذیرش نهایی: ۹۳/۱۰/۲۹

صفحات: ۱۷۵-۱۹۶

محمد لطفی: دانشجوی دکتری اقلیم شناسی، دانشکده علوم جغرافیایی، دانشگاه خوارزمی، تهران، ایران^۱

Email: lotfimd@yahoo.com

بهلول علیجانی: استاد اقلیم شناسی، دانشکده علوم جغرافیایی، دانشگاه خوارزمی، تهران، ایران

Email: bralijani@gmail.com

پرویز ضیائیان فیروزآبادی: دانشیار سنجش از دور، دانشکده علوم جغرافیایی، دانشگاه خوارزمی، تهران، ایران

Email:rsgis1000@yahoo.com

چکیده

به منظور بررسی تاثیر شهر بر دمای سالانه در شمال شرق ایران، از داده‌های ایستگاه‌های مشهد، سبزوار، تربت حیدریه، بیرجند و بار در بازه زمانی ۱۹۶۰ تا ۲۰۱۱ استفاده شد. داده‌های دمای میانگین، کمینه و بیشینه سالانه، تا سال ۲۰۱۱ از سازمان هواشناسی دریافت و سال‌های فاقد داده به روش رگرسیون جایگزین گردید. برای سری دمای میانگین سالانه ایستگاه‌ها با توجه به نمودار خودهمبستگی و خودهمبستگی جزئی، مدل آریما انتخاب و جهت صحت و برآش هر مدل از معیارهای، ریشه میانگین مربعات خطأ، قدرت توجیه و فرض تصادفی بودن باقیمانده-ها استفاده شد. مدل AR(2,1,0) برای سری دمای میانگین مشهد و بیرجند، مدل AR(1,1,0) برای دمای میانگین سبزوار، مناسب‌ترین مدل تشخیص داده شدند. جهت تشخیص روند و تغییرات در هر سری از آزمون من کندال و t استفاده شد، در آزمون t، میانگین دهه اول هر سری با میانگین دهه اخیر آزمون گردید، ایستگاه‌ها بر اساس موقعیت به دو دسته داخل محدوده شهری و خارج از محدوده شهری تقسیم شدند. نتایج نشان می‌دهد روند دما در ایستگاه‌های داخل شهر و خارج شهر کاملاً متفاوت است، دمای میانگین، بیشینه و کمینه سالانه در ایستگاه‌های داخل محدوده شهری روند افزایشی نشان دادند، در حالیکه در ایستگاه‌های خارج از شهرها دمای میانگین سالانه بدون روند و حتی دمای بیشینه ایستگاه‌های تربت حیدریه، بار و دمای کمینه بیرجند روند، کاهشی بوده است.

کلیدواژگان: روند دما، آریما، من کندال، آزمون t، شمال شرق

^۱. نویسنده مسئول: تهران-دروازه دولت- خیابان شهید مفتح-دانشگاه خوارزمی-دانشکده علوم جغرافیایی

مقدمه

امروزه تغییر اقلیم مهمترین چالش محیطی قرن ۲۱ شناخته شده است، انسان با دخالت‌های خود در محیط طبیعی، باعث تغییرات محیط از جمله اقلیم می‌شود، انسان در چند دهه اخیر با کشف و استفاده بیش از حد سوخت‌های فسیلی، باعث افزایش گازهای گلخانه‌ای شده است، میزان دی اکسید کربن از ۲۸۰ قسمت در میلیون در قبل از انقلاب صنعتی به ۳۹۱ قسمت در میلیون در سال ۲۰۱۱ رسیده است(IPCC,2013). انسان به عنوان تنها موجود متفکر در کره زمین فعالیت‌های خود را با اقلیم منطقه سازگار کرده، البته اقلیمی که در طول زمان تغییر نداشته باشد، اقلیم هر منطقه، هوای غالب در آن منطقه می‌باشد(علیجانی و کاویانی، ۸:۱۳۷۱) که مهمترین عناصر آن بارش و دماست. چنانچه عناصر اقلیمی در طی زمان تغییرات معنی-داری را نشان دهد تغییر اقلیم، اطلاق می‌شود(IPCC,2001) و بدلیل خسارات جانی و مالی که برای انسان به همراه دارد یک مخاطره به شمار می‌رود. چنانچه دما افزایش یابد مشکلات عدیدهای در بخش‌های کشاورزی، صنعت و اقتصاد بوجود می‌آید، با افزایش ۲ درجه سانتیگراد دما، نیاز آبی گیاهان ۶ درصد افزایش می‌یابد(علیزاده و همکاران، ۱۳۸۱) و یا با افزایش دما و روند افزایش جمعیت، نیاز به آب بیشتر می‌شود و احتمال بحران‌ها و نزاع‌ها بر سر منابع آبی بیشتر خواهد شد. چنانچه فرض گرم شدن کره زمین اثبات شود و نتایج آن مانند بالا آمدن آب دریاها و اقیانوس‌ها، تغییرات بارش، افزایش سیل و فرسایش خاک، کاهش پوشش گیاهی، و غیره عملی شود، خسارات جبران ناپذیری به کره زمین وارد خواهد شد.

با توجه به اهمیت موضوع تحقیقات متعددی در مورد تغییرات و پیش‌بینی عناصر اقلیمی در مناطق مختلف جهان انجام شده است، برای افزایش دما در سطح جهانی و منطقه‌ای، لینهنج-لیانگ و جی پترکشاو^۱(۱۹۹۵)، هگرل^۲ و همکاران(۱۹۹۶)، تومازیکس و همکاران (۲۰۰۶)^۳ و گورودو و الاهی^۴ (۲۰۱۰)، تحقیقاتی ارائه داده‌اند. در مورد تغییرات بارش نیز تحقیقاتی انجام شده است (تاسچتو و میتوهوانگلند^۵ ۲۰۰۹، لینهنج لیانگ و جی پتر کشاو(۱۹۹۵)). بسیاری از محققین با استفاده از مدل‌های باکس جنکیز عناصر آب و هوایی را پیش‌بینی کردند، نظری او لاوی کارنر^۶(۲۰۰۹) که برای حداکثر دمای سطحی هوا و حداکثر تابش خورشیدی، مدلی

1-Lineheng Liang, peter. G Kershaw

2-Hegrel

3-Tomozeix

4-Gurudeo, Ilahee

5-Taschetto, Matthew England

6-Olavi Karner

^۱ARIMA ارائه نمود و یا ایکسرلی^۲ (۲۰۰۹) از مدل GLM و ARIMA برای تجزیه و تحلیل دمای ماهانه استکهلم استفاده کرد، برای مقایسه مدل‌های GLM و ARIMA دوره‌ی مورد مطالعه را به سه قسمت تقسیم نمود و برای هر زیر دوره مدل ARIMA GLM انتخاب کرد و نتایج پیش‌بینی مدل ARIMA را دقیق‌تر از مدل GLM تشخیص داد. شمس نیا و همکاران (۲۰۰۹) پارامترهای آب و هوایی ایستگاه آباده و صراف و همکاران (۲۰۱۱) دمای ماهانه و رطوبت نسبی اهواز را با مدل‌های ARIMA پیش‌بینی نموده‌اند و همچنین نیل^۳ (۲۰۰۹) برای بارش جردن با استفاده از فرض تصادفی بودن باقیمانده‌ها برآزندۀ‌ترین مدل ARIMA را انتخاب و به پیش‌بینی پرداخت. برخی محققان با توجه به موقعیت ایستگاه‌ها به بررسی روند دما پرداخته‌اند مانند رن و همکاران^۴ (۲۰۰۸) ۲۳۸ ایستگاه هواشناسی شمال چین را به شش دسته ایستگاه‌های روستایی، شهری کوچک، شهری متوسط، شهری بزرگ و ایستگاه‌های متروپلیتن تقسیم کرد و روند دما در ایستگاه‌های شهرهای بزرگ را ۰/۱۶ و ایستگاه‌های شهرهای کوچک را ۰/۰۷ در هر دهه بدست آورد. همچنین فنگ^۵ و همکاران (۲۰۱۴) علاوه بر بررسی ایستگاه‌های شهری و خارج شهر، به دروه توسعه اقتصادی و شرایط جغرافیایی ایستگاه‌ها نیز پرداختند و نتیجه گرفتند علاوه بر تاثیر شهرنشینی بر روند دما، روند دمای ایستگاه‌های واقع شده در دشت با فلات و واحه تفاوت معنی‌داری نشان می‌دهند.

در ایران نیز، تحقیقات متعددی درمورد تغییرات عناصر اقلیمی انجام شده است. اغلب این تحقیقات جهت تشخیص روند عناصر اقلیمی، از آزمون ناپارامتریک من-کندال استفاده کرده اند (رضیئی و همکاران ۱۳۸۴)، ابراهیمی، علیزاده و جوانمرد ۱۳۸۴، جهانبخش و همکاران ۱۳۸۹، و عزیزی و روشنی ۱۳۸۷) و یا برخی از محققین از روش شبیه خط و رگرسیون خطی، بهره گرفته‌اند (جهانبخش و ترابی ۱۳۸۳، قائمی و عساکر ۱۳۸۲) و میرموسوی (۱۳۸۷) از روش همبستگی رتبه‌ای اسپیرمن استفاده کرده است.

همچنین جهت پیش‌بینی عناصر اقلیمی در ایران از مدل‌های باکس جنکیز استفاده شده است (علیجانی و بنی وهاب ۱۳۸۴، جهانبخش و ترابی ۱۳۸۳، ابراهیمی و همکاران ۱۳۸۴) و غیور عساکر (۱۳۸۴)، با روش فوریه دمای مشهد را پیش‌بینی کرده‌اند، همچنین حجازی زاده و

7-Autoregressive Integrated Moving Avera
8-XierLi
9-Momani
10-Ren
11-Fang

شیرخانی(۱۳۸۴) به پیش‌بینی دوره‌های خشک کوتاه مدت خراسان با روش زنجیره مارکف پرداخته‌اند.

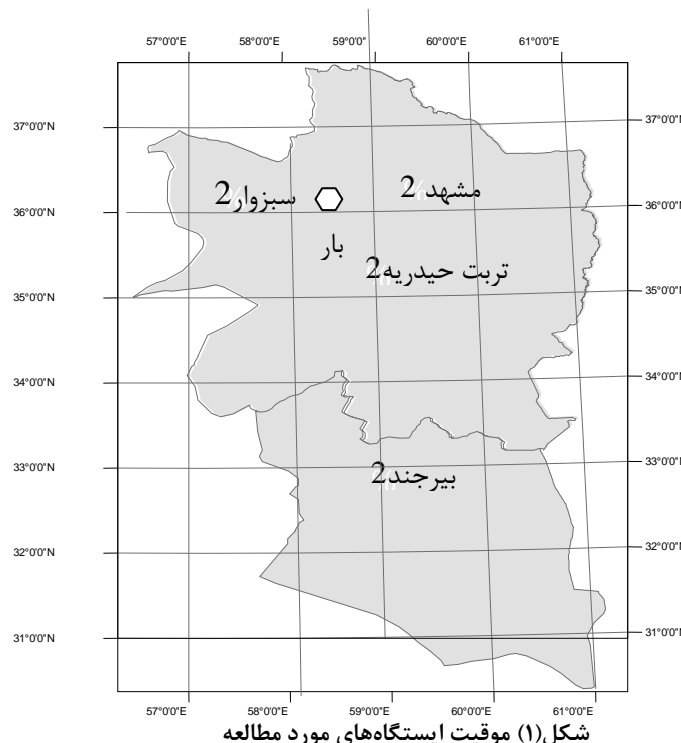
نتایج تحقیقات انجام شده در ایران نشان می‌دهد تغییرات دما اغلب به صورت محلی می‌باشد، مانند تحقیق میر موسوی(۱۳۸۷) که در مورد دمای سالانه تبریز به روند افزایشی و دمای ماکو، روند کاهشی اشاره داشته و یا عزیزی و روشنی(۱۳۸۷) برای دمای گرگان روند کاهشی و دیگر ایستگاه‌های سواحل خرز، روند افزایشی نتیجه‌گیری کرده‌اند. همچنین ابراهیمی و همکاران(۱۳۸۴)، از گرم شدن دمای مشهد به عنوان نمایه‌ای از تغییر اقلیم یاد کرده اند، ولی جهانبخش و ترابی(۱۳۸۳)، تغییرات اقلیمی در ایران را یکسان ندانسته، و به تغییر حداقل دما در سواحل شمال، نواحی کوهستانی و تغییر حداقل دما در سایر نواحی به جز سواحل جنوبی اشاره کرده‌اند. همچنین جهانبخش و همکاران(۱۳۸۹) افزایش دما در برخی از ایستگاه‌های حوضه کرخه را به اثبات رسانده‌اند.

در اغلب تحقیقات انجام شده در ایران به موقعیت مکانی ایستگاه‌های هواشناسی توجه نشده، که آیا روند دما متاثر از جزیره حرارتی شهر است و یا مربوط به گرمایش جهانی می‌باشد، برخی محققان به گرمایش منطقه شمال شرق ایران اشاره داشته‌اند(ابراهیمی، علیزاده و جوانمرد ۱۳۸۴)، شمال شرق ایران به عنوان یک قطب کشاورزی، دارای محصولاتی چون زعفران، گندم، چغندر قند، پسته و غیره می‌باشد، البته که مناطق کشاورزی در خارج از محدوده شهرها استقرار یافته‌اند. در این تحقیق از داده‌های پنج ایستگاه هواشناسی که دو ایستگاه در محدوده شهری و سه ایستگاه خارج از سکونت‌گاههای شهری واقع شده‌اند استفاده می‌شود تا تفاوت روند دمای داخل شهر و خارج شهر مشخص شود. بنابراین بررسی تغییرات دما با توجه به موقعیت مکانی ایستگاه هواشناسی در شمال شرق ایران امری ضروری به نظر می‌رسد.

مواد و روش‌ها

جهت بررسی تاثیر شهر برسری‌های دمای میانگین، کمینه و بیشینه سالانه در شمال شرق کشور، از پنج ایستگاه که طولانی‌ترین دوره آماری را داشتند استفاده شد، داده‌های دمای ایستگاه‌های مشهد، سبزوار، بیرجند، تربت حیدریه و بار، از سال ۱۹۶۰ تا سال ۲۰۱۱ از سازمان هواشناسی کشور دریافت و داده‌های مفقود به روش رگرسیون جایگزین گردید. سپس با استفاده از مشخصات طول و عرض جغرافیایی بر حسب درجه، دقیقه و ثانیه در تصاویر ماهواره‌ای موقعیت دقیق ایستگاهها مشخص شد، دو ایستگاه مشهد و سبزوار در پیرامون شهر و سه

ایستگاه تربت حیدریه، بیرجند و بار در خارج شهر واقع شده‌اند. منظور از ایستگاه‌های خارج از شهر ایستگاه‌های هستند که حداقل ۴ کیلومتر با نزدیکترین شهر و ایستگاه‌های شهری شهری است که حداقل ۵۰۰ متر از مرز شهر فاصله داشته باشند.



جدول (۱) مشخصات ایستگاه‌های مورد مطالعه

ایستگاه	عرض جغرافیایی	طول جغرافیایی	ارتفاع به متر	دوره آماری
مشهد*	۳۶°۰۰'N	۵۹°۳۸'E	۲۶ ۱۴	۱۹۶۰-۲۰۱۱
سبزوار*	۳۶°۰۰'N	۵۷°۴۳'E	۳۶ ۱۲	۱۹۶۰-۲۰۱۱
تربت حیدریه	۳۵°۰۰'N	۵۹°۱۳'E	۳۵ ۱۶	۱۹۶۰-۲۰۱۱
بیرجند	۳۳°۰۰'N	۵۹°۱۲'E	۳۲ ۵۲	۱۹۶۰-۲۰۱۱
بار	۳۱°۰۰'N	۵۸°۴۲'E	۳۶ ۲۷	۱۹۶۰-۲۰۱۱

*=ایستگاه‌های واقع شده در محدوده شهری

هرگاه تعدادی داده را براساس زمان وقوع، مرتب کنیم یک سری زمانی ایجاد می‌شود، یکی از مهمترین روش‌های مطالعه سریهای زمانی روش ARIMA می‌باشد. در مطالعه سری زمانی در ابتدا باید رفتار سری تشخیص داده شود، اغلب سری‌ها رفتارهای روند، فصلی، دوره‌ای و بی‌نظم را نشان می‌دهند، چنانچه رفتار سری به علت بی‌نظمی‌ها، تشخیص داده نشود باید از فیلتر استفاده شود مهمترین فیلترها، میانگین متخرک و تفاضل گیری می‌باشد.

اولین شرط مطالعه سری زمانی در روش ARIMA، ایستایی می‌باشد، سری که آماره‌های میانگین، واریانس و کوواریانس آن در طول زمان تغییر نداشته باشد ایستا است، چنانچه سری ایستا نباشد با روش‌های تفاضل گیری، تبدیل به نمره Z ، جذر و \log سری ایستا می‌شود) نیرومند و بزرگ نیا ۱۳۸۴: ۱۵۴). نمودارهای خود همبستگی (ACF) و خود همبستگی جزئی (PACF) مهمترین ابزار تشخیص مدل در روش ARIMA می‌باشند، چنانچه نمودار خود همبستگی در تاخیر یک معنی دار باشد و بقیه تاخیرها معنی دار نباشد (cut-off)، سری ایستا است. مدل‌های ARIMA براساس سه پارامتر p, d, q که p مرتبه اتورگرسیو، d مرتبه تفاضل-گیری و q مرتبه میانگین متخرک می‌باشند بررسی می‌شوند، جدول ۲ ویژگی‌های نظری PACF و ACF را جهت تشخیص مدل نشان می‌دهد(نیرومند و بزرگ نیا ، ۱۳۸۴: ۱۵۵).

جدول (۲) ویژگی‌های نظری PACF و ACF و جهت تشخیص مدل

مدل	ACF	PACF
AR(p)	به صورت نمایی یا موج سینوسی میرا به سمت صفر میل می‌کند	بعد از تاخیر p قطع می‌شود
MA(q)	بعد از تاخیر q قطع می‌شود	به صورت نمایی یا موج سینوسی میرا به سمت صفر میل می‌کند
ARMA(p-q)	بعد از تاخیر $(p-q)$ به سمت صفر میل می‌کند	بعد از تاخیر $(p-q)$ به سمت صفر میل می‌کند

ارائه برازنده‌ترین مدل با استفاده ریشه میانگین مربعات خطأ ($RMSE$) رابطه ۱، قدرت توجیه(رابطه ۲) و تصادفی بودن باقیمانده‌ها انجام شد.

$$\text{Root Mean Squared Error} = \sqrt{\frac{\sum |e_i|^2}{n}} \quad (1)$$

N =تعداد داده

e_i =خطأ

$$\text{قدرت توجیه} = \frac{\text{rss}}{\text{tss}} \quad (۲)$$

tss= data var

rss=model var

هر چقدر مقدار RMSE، به صفر نزدیکتر و قدرت توجیه به ۱ نزدیکتر باشد مدل مناسب‌تر می‌باشد.

به منظور تشخیص روند دمای ایستگاه‌ها از آزمون MK^1 و بررسی تغییرات دما از آزمون t استفاده شد. آزمون MK یکی از آزمون‌های ناپارامتریک جهت تشخیص روند سری‌های زمانی می‌باشد، که براساس آماره S بیان می‌شود (بیهارت انوز ۳۰۰۳).^(۳)

$$S = \sum_{k=1}^{n-1} \sum_{i=k+1}^n \text{sign}(x_i - x_k) \quad (۴)$$

که x_j و x_k داده‌های متوالی k و j ام سری است، $k < j$ کوچکتر و مساوی با n و k مساوی باز نمی‌تواند باشد، Sing تعیین علامت و از رابطه 4 بدست می‌آید

$$\text{Sing}(\theta) = \begin{cases} 1 & \text{if } x_j - x_k > 0 \\ 0 & \text{if } x_j - x_k = 0 \\ -1 & \text{if } x_j - x_k < 0 \end{cases} \quad (۴)$$

آزمون آماره S میانگین صفر دارد و واریانس آن برابر است با:

$$V(S) = \frac{1}{18} [n(n-1)(2n+5 - \sum_{p=1}^g t_p(t_p-1)(2t_p+5)] \quad (۵)$$

که در این رابطه t اندازه یک بازه زمانی در سری داده‌ها و \sum مجموع سری زمانی داده‌ها است، چنانچه $n \geq 10$ باشد، Z استاندارد شده را می‌توان از رابطه 6 بدست آورد (بیهارت انوز ۳۰۰۳).^(۶)

$$z = \begin{cases} \frac{s-1}{\sqrt{\frac{1}{s}}} & \text{if } s > 0 \\ \frac{1}{\sqrt{s}} & \text{if } s = 0 \\ \frac{s+1}{\sqrt{\frac{1}{s}}} & \text{if } s < 0 \end{cases} \quad (۶)$$

مقادیر مثبت Z روند صعودی و مقادیر منفی Z روند نزولی را نشان می‌دهد و در صورتی روند معنی دار است که قدر مطلق Z بزرگتر از $Z_{\alpha/2}$ باشد.

آزمون t : یکی از آزمون‌های پارامتریک می‌باشد، که تفاوت میانگین‌های دو جامعه را بررسی می‌کند(عبدالله زاده، یحیی و عبدالله زاده، کاوه ۱۳۷۹). در این تحقیق جهت بررسی تغییرات دما، میانگین ده سال اول داده‌ها را با میانگین ده سال اخیر داده‌ها آزمون شدند.

$$t = \frac{\bar{x}_1 - \bar{x}_2}{s_{\bar{x}_1 - \bar{x}_2}} \quad (7)$$

$$\begin{aligned} &= \frac{\bar{x}_1 - \bar{x}_2}{s_{\bar{x}_1 - \bar{x}_2}} \\ &= \text{میانگین ده سال اول سری} = \bar{x}_1 \\ &\quad \text{میانگین ده سال آخر سری} = \bar{x}_2 \end{aligned} \quad (8)$$

$$s_{\bar{x}_1 - \bar{x}_2} = \sqrt{\frac{sp^2}{n_1} + \frac{sp^2}{n_2}} \quad (9)$$

$$sp^2 = \frac{(n_1 - 1)s_1^2 + (n_2 - 1)s_2^2}{(n_1 - 1) + (n_2 - 1)}$$

تعداد داده‌ها = n

$$s^2 = \frac{\sum(x_i - \bar{x})^2}{n} \quad (10)$$

بحث و نتایج

الف: بررسی روند و تغییرات

در این تحقیق جهت بررسی روند و تغییرات دما، ایستگاه‌ها با توجه به موقعیت مکانی به دو دسته ایستگاه‌های داخل محدوده شهری و ایستگاه‌های خارج از شهر تقسیم شدند.

۱- ایستگاه‌های واقع شده در محدوده شهری

دماه ایستگاه‌های داخل محدوده شهری(مشهد، سبزوار) بر اساس آزمون من کن达尔 روند افزایشی نشان می‌دهند(جدول ۴)، روند دمای میانگین سالانه ایستگاه مشهد در روش من-کن达尔 $0/54$ ، دمای کمینه $0/38$ و روند دمای بیشینه $0/23$ بوده که روند هر سه متغیر معنی دار است. تفاوت ده سال آخر نسبت به ده سال اول سری نیز نشان از افزایش دما دارد به طوری

واکاوی تاثیر شهر بر تغییرات سالانه دما در شمال شرق ایران

۱۸۳

که میانگین سالانه $2/6$ ، دمای کمینه $6/2$ ، و دمای بیشینه $4/1$ درجه سانتیگراد افزایش معنی‌داری را نشان می‌دهد (جدول ۶).

روند میانگین دمای سالانه ایستگاه سبزوار، $0/52$ و دمای کمینه $0/37$ بوده که هر دو معنی‌دار می‌باشد. تفاوت میانگین دهه اخیر نسبت به دهه اول ایستگاه سبزوار، در دمای میانگین $1/73$ و در دمای کمینه $4/42$ درجه افزایش یافته است. دمای بیشینه این ایستگاه روند و تغییر معنی‌داری را نشان نمی‌دهد. (جدول ۶)

جدول (۶) نتایج آزمون من کندا ایستگاه‌های داخل شهر $\alpha=0/05$

ایستگاه	معنی داری	رونده	ایستگاه	معنی داری	رونده	ایستگاه	معنی داری	رونده
مشهد، میانگین	مشهد، میانگین	$0/0001$	سبزوار، میانگین	سبزوار، میانگین	$0/0009$	مشهد، کمینه	مشهد، کمینه	$0/0002$
مشهد، کمینه	مشهد، کمینه	$0/0002$	سبزوار، کمینه	سبزوار، کمینه	$0/0007$	سبزوار، بیشینه	سبزوار، بیشینه	$0/0003$
مشهد، بیشینه	مشهد، بیشینه	$0/023$						

۲- ایستگاه‌های خارج از محدوده شهری

ایستگاه‌های خارج از محدوده شهری شامل ایستگاه بیرجند، تربت حیدریه و بار می‌باشد، جدول ۵ نتایج آزمون روند این ایستگاه‌ها را نشان می‌دهد، دمای میانگین و کمینه سالانه ایستگاه تربت حیدریه بدون روند معنی‌داری، اما روند دمای بیشینه $0/26$ - است. در آزمون t نیز، دهه اول دمای میانگین و کمینه نسبت به دهه آخر تفاوت قابل توجهی ندارند، ولیکن دهه اخیر دمای بیشینه این ایستگاه نسبت به دهه اول 1.3 درجه سانتیگراد سردرتر شده که نزدیک به سطح معنی‌داری می‌باشد (جدول ۶).

آزمون روند برای دمای میانگین، بیشینه و کمینه در ایستگاه بیرجند، کاهشی بوده که روند دمای میانگین و بیشینه معنی‌دار نیست ولی دمای کمینه روند کاهشی معنی‌دار به میزان $0/43$ - را نشان می‌دهد (جدول ۵)، همچنان در جدول ۶، فقط کاهش دمای کمینه معنی‌دار بوده، که دهه اخیر نسبت به دهه اول سری $3/9$ درجه سانتیگراد سردرتر شده است. روند دمای کمینه و بیشینه ایستگاه بار معنی‌دار، که روند دمای کمینه افزایشی اما دمای بیشینه کاهشی می‌باشد. تفاوت دهه اخیر با دهه اول متغیرهای دما در این ایستگاه، فقط تفاوت دمای کمینه معنی‌دار، که $4/3$ درجه افزایش داشته است.

۱۸۴ نشریه تحقیقات کاربردی علوم جغرافیایی سال پانزدهم، شماره ۳۵، زمستان ۹۳

جدول (۵) نتایج آزمون من کن达尔 ایستگاه های خارج از محدوده شهری $\alpha = 0.05$

معنی داری	روند	ایستگاه	معنی داری	روند	ایستگاه	معنی داری	روند	ایستگاه
۰/۶۸	-۰/۰۵	بار، میانگین	۰/۶۹	-۰/۰۵	بیر جند میانگین	۱	۰	تریت حیدریه میانگین
۰/۰۱	۰/۲۶	بار، کمینه	۰/۰۰۱	-۰/۴۳	بیر جند کمینه	۰/۰۹	۰/۱۶	تریت حیدریه کمینه
۰/۰۰۴	-۰/۲۸	بار، بیشینه	۰/۷۶	-۰/۰۲	بیر جند بیشینه	۰/۰۰۷	-۰/۲	تریت حیدریه بیشینه

جدول (۶) نتایج آزمون تفاوت دهه اخیر با دهه اول، درجه سانتیگراد $\alpha = 0.05$

p-value	جدول	محاسبه	تفاوت دهه اخیر با دهه اول، درجه سانتیگراد	ایستگاه
۰/۰۰۰۱	۲/۱۰۱	-۶/۴۹	۲/۶	▲ مشهد، میانگین*
۰/۰۰۰۷	۲/۱۰۱	۳/۱	۶/۲	▲ مشهد، کمینه*
۰/۰۴	۲/۱۰۱	۲/۱۳	۱/۴	▲ مشهد، بیشینه*
۰/۰۰۰۱	۲/۱۰۱	-۵/۲	۱/۷۳	▲ سبزوار، میانگین*
۰/۰۰۴	۲/۱۰۱	-۲/۱۲	۴/۴۲	▲ سبزوار، کمینه*
۰/۴۴	۲/۱۰۱	۰/۷۲	۰/۴	* سبزوار، بیشینه
۰/۲۴	۲/۱۰۱	۱/۲	۰/۳	تریت حیدریه، میانگین
۰/۲۱	۲/۱۰۱	-۱/۲۹	۲/۳	تریت حیدریه، کمینه
۰/۰۶	۲/۱۰۱	۱/۹۶	-۳/۱	تریت حیدریه، بیشینه
۰/۴۲	۲/۱۰۱	۰/۸۳	-۰/۱۵	بیر جند، میانگین
۰/۰۰۰۱	۲/۱۰۱	۳/۸	-۳/۹	▼ بیر جند، کمینه
۰/۵۱	۲/۱۰۱	۰/۶۶	-۰/۲۸	بیر جند، بیشینه
۰/۵۲	۲/۱۰۱	-۰/۵۹	۰/۲	بار، میانگین
۰/۰۱	۲/۱۰۱	۲/۷۵	۴/۳	▲ بار، کمینه
۰/۱	۲/۱۰۱	۱/۶۹	-۱/۳	بار، بیشینه

▲: افزایش معنی دار

▼: کاهش معنی دار

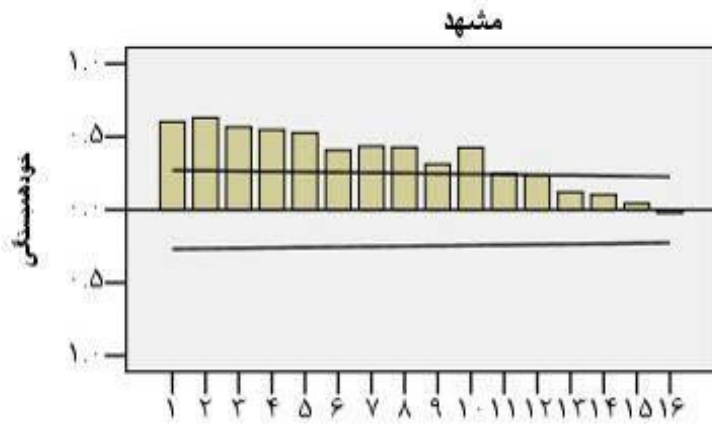
* ایستگاه های داخل محدوده شهری

ب: مدلسازی:

در این تحقیق برای دمای میانگین سالانه ایستگاهها مدلسازی و پیش‌بینی شده، همچنین اعداد زیر ضرایب، در رابطه‌ها مقادیر t می‌باشند، که برای معنی‌داری استفاده شده است). پس از تشخیص روند دمای ایستگاهها به مدلسازی و پیش‌بینی دما با روش ARIMA-پردازیم، در روش ARIMA بر اساس نمودار خود همبستگی و خودهمبستگی جزئی پارامترهای p, d, q مشخص می‌شوند.

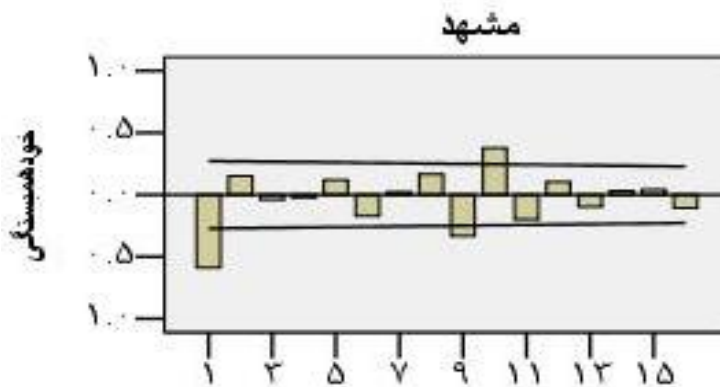
برای مدلسازی دمای میانگین مشهد مراحل زیر به ترتیب انجام شد:

- ۱- نمودار خودهمبستگی سری مشهد ترسیم شد (شکل ۲) این نمودار کاهش کند دارد کاهش کند خود همبستگی سری مشهد، نشان از نایستایی سری است، این سری در روش MK نیز روند افزایشی نشان داد.



شکل(۲) نمودار خودهمبستگی سری مشهد

- ۲- جهت ایستا شدن سری از تفاضل گیری مرتبه ۱ استفاده شده که در شکل ۳ سری ایستا است در نتیجه $d = 1$ مساوی با یک می‌باشد، بر اساس نمودار خود همبستگی با تفاضل یک، که فقط شاخص اول معنی‌دار است، ضریب یک و مدل میانگین متحرک مرتبه اول $MA(0,1,1)$ قابل استنباط است.



شکل (۳) نمودار خودهمبستگی با تفاضل ۱ سری مشهد

(۱۱)

$$y_t = a_t - \theta_1 a_{t-1}$$

$$\theta_1 = 0.997$$

(0.64)

در اینجا مقدار $\theta_1 = 0.997$ است که معنی دار نیست پس مدل $MA(1)$ حذف می‌شود.

برای وارسی مدل‌های اتورگرسیو نمودار خودهمبستگی جزئی ترسیم شد، نمودار خودهمبستگی جزئی سری مشهد تا شاخص ۲ معنی‌دار می‌باشد (شکل ۴) در نتیجه مدل $AR(2,1,0)$ کاندید مناسبی است، پس مینویسیم

(۱۲)

$$y_t = \phi_1 y_{t-1} + \phi_2 y_{t-2} + a_t \rightarrow y_t = -0.774 y_{t-1} - 0.229 y_{t-2} + a_t$$

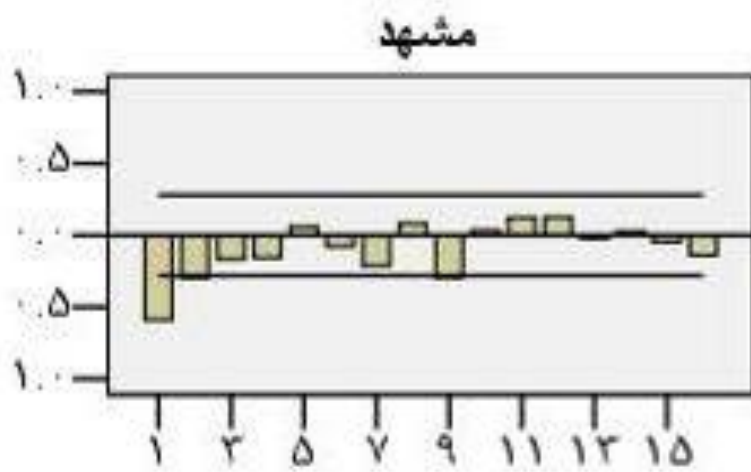
(-5.55) (-2.1)

از آنجا که مقادیر قدر مطلق $\phi_1 = 0.774$ و $\phi_2 = 0.229$ بزرگتر از ۲ است پس مدل $AR(2,1,0)$ کاندید مناسبی به نظر می‌رسد. حال بررسی می‌کنیم که حضور ضریب ثابت (ϕ_0) معنی‌دار است یا خیر؟

$$y_t = \phi_0 + \phi_1 y_{t-1} + \phi_2 y_{t-2} + a_t \rightarrow y_t = 0.003 + \phi_1 y_{t-1} + \phi_2 y_{t-2} + a_t$$

(0.84)

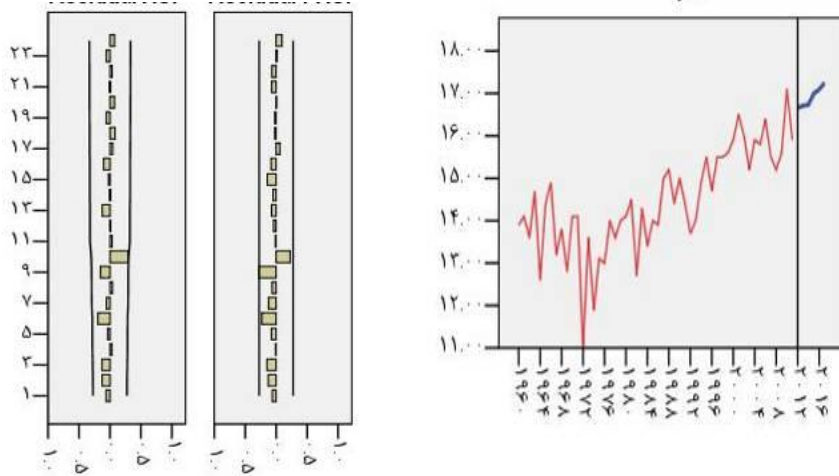
حضور $\phi_0 = 0.003$ معنی‌دار نیست و شرایط مدل را بهتر نمی‌کند بنابراین ϕ_0 را حذف می‌کنیم. سایر مدل‌های ARIMA به دلیل معنی‌دار نبودن ضرایب آنها حذف می‌شود.



شکل(۴) نمودار خودهمبستگی جزیی سری مشهد

باقیماندهای مدل AR(2,1,0) در شکل ۶ تصادفی و ریشه میانگین مربعات خطای این مدل ۰/۶۹ می‌باشد، این مدل داده‌ها را توجیه کرده که برازنده‌ترین مدل است، در مدل‌های AR مقادیر پیش‌بینی هر سال به سال قبل وابسته است، داده‌های اخیر سری مشهد روند افزایشی دارد به همین علت مقادیر پیش‌بینی دما، تا سال ۲۰۱۶ افزایش می‌یابد از سوی دیگر ایستگاه مشهد در محدوده شهر واقع شده است و روند افزایشی شدیدی نشان داد، میانگین دما در سال ۲۰۱۱، ۱۵/۹ بوده، در سال ۲۰۱۶ به ۱۷/۰۹ درجه سانتیگراد خواهد رسید.

(شکل ۵ و جدول ۳).

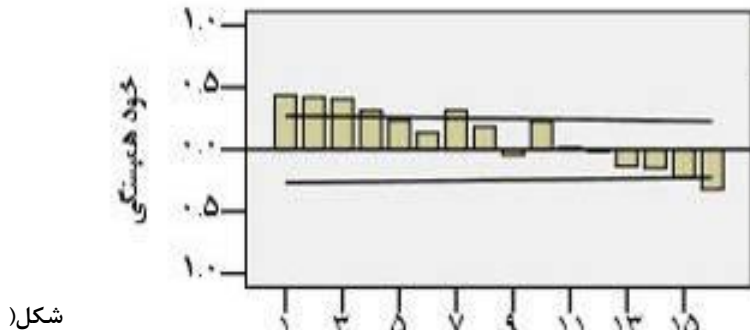


شکل(۶) باقیمانده های سری مشهد

شکل(۵) نمودار پیش بینی سری مشهد

برای مدلسازی دمای سالانه بیرجند مراحل زیر به ترتیب انجام شد.

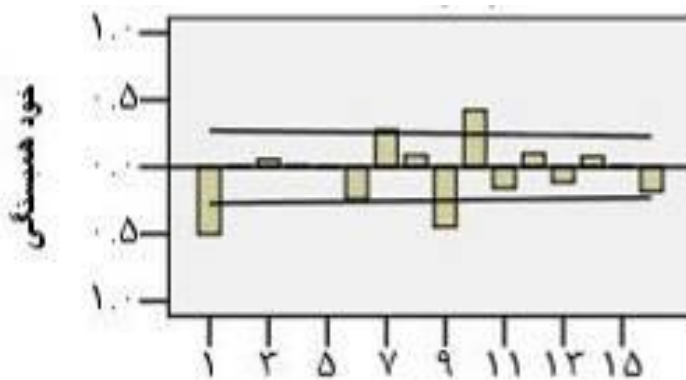
- ۱- نمودار خودهمبستگی سری بیرجند ترسیم شد (شکل ۷) سری بیرجند به صورت موج سینوسی کاهش می‌یابد که تا تاخیر ۴ معنی‌دار و بعد از آن قطع می‌شود بنابراین ایستادنیست.



شکل
(۷)

نمودار تابع ACF سری بیرجند

- ۲- برای ایستایی سری بیرجند از تفاصل ۱ استفاده شده است شکل ۸ نمودار خودهمبستگی با تفاصل ۱ را نشان می‌دهد که ایستادنی شده است، در نتیجه $d=1$ و از نمودار خودهمبستگی با تفاصل ۱ مدل $MA(0,1,1)$ استنباط می‌شود.

شکل(۸) نمودار تابع ACF با تفاضل اسری بيرجند

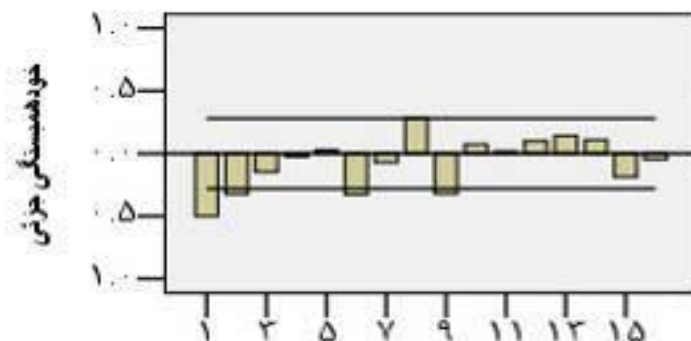
(۱۴)

$$y_t = a_t - 0.03a_{t-1} \rightarrow y_t = a_t - \theta_1 a_{t-1}$$

(0.96)

مقدار آبرای θ_1 کوچکتر از ۲ است پس حضور θ_1 اثر معنی داری در مدل ندارد بنابراین مدل $MA(0,1,1)$ مدل مناسب نیست.

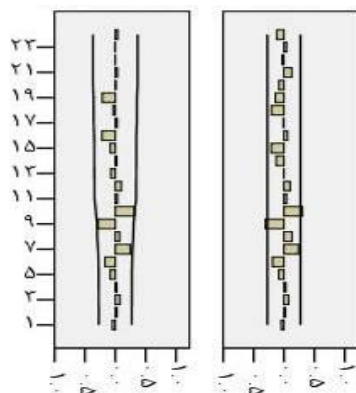
۳- برای بررسی مدل های اتورگرسیو نمودار خودهمبستگی جزئی سری بيرجند ترسیم شد(شکل ۹) که تا تاخیر ۲ معنی دار است و مدل $AR(2,1,0)$ پیشنهاد می گردد،

شکل(۹) نمودار $PACF$ با تفاضل ۱ بيرجند

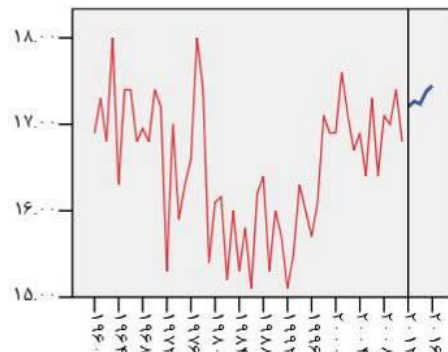
$$y_t = \phi_1 y_{t-1} + \phi_2 y_{t-2} + a_t \rightarrow y_t = -0.667 y_{t-1} - 0.323 y_{t-2} + a_t \quad (15)$$

(-4.8) (-2.3)

مقادیر قدر مطلق Φ_1 و Φ_2 بزرگتر از ۲ است بنابراین مدل $AR(2,1,0)$ برآنده‌ترین مدل می‌باشد که ضریب ثابت (ϕ) نیز حضور معنی‌داری را نشان نمی‌دهد. ریشه میانگین مربعات خطای این مدل 0.67 و قدرت توجیه آن 0.79 می‌باشد، باقیمانده‌های این مدل در شکل ۱۱ کاملاً تصادفی است.



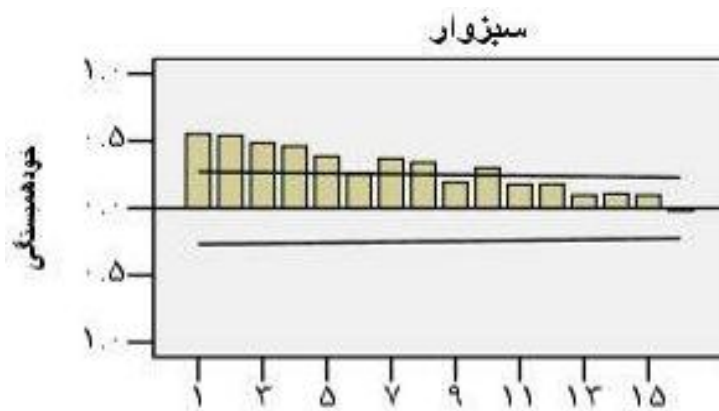
شکل (۱۱) باقیمانده‌ها سری بیرون چند



شکل (۱۰) نمودار و مقادیر پیش‌بینی بیرون چند

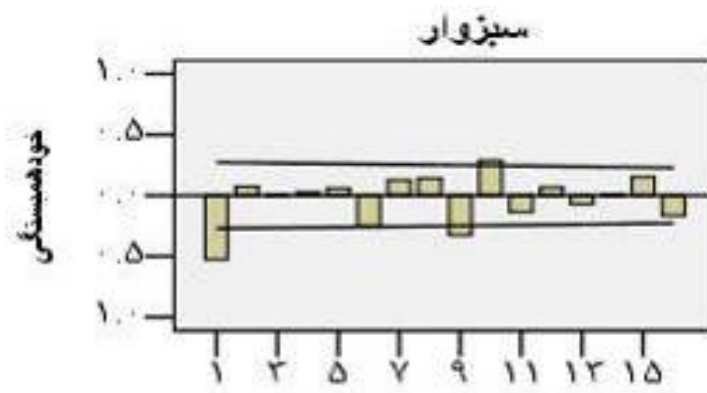
انتخاب برآنده‌ترین مدل برای سری سبزوار بر اساس مراحل زیر انجام شد.

۱-نمودار تابع خودهمبستگی دمای سالانه سبزوار کاهش کند دارد که تا تاخیر ۱۰ معنی‌دار و بعد از آن تصادفی می‌باشد(شکل ۱۲) در نتیجه این سری ایستا نیست.



شکل (۱۲) نمودار ACF سری سبزوار

۲- جهت ایستا شدن سری سبزوار از تفاضل مرتبه ۱ استفاده شد، شکل ۱۳ نمودار خود همبستگی با تفاضل ۱ می باشد که ایستا است در نتیجه مرتبه $d=1$ است، نمودار خود همبستگی با تفاضل یک(شکل ۱۳)، تا شاخص ۱ معنی دار است در نتیجه مدل میانگین متحرک مرتبه یک، معقول به نظر می رسد.



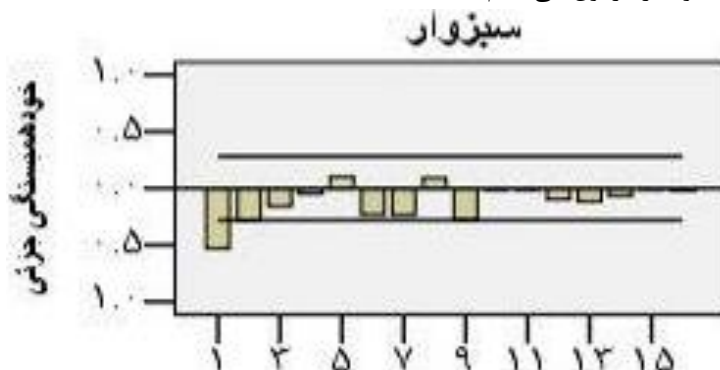
شکل (۱۳) نمودار ACF با تفاضل ۱ سبزوار

(۱۶)

$$y_t = a_t - \theta_1 a_{t-1} \longrightarrow y_t = a_t - 0.992 a_{t-1} \quad (2.1)$$

اگر چه مقدار t برای θ_1 بزرگتر از ۲ و معنی دار است اما به علت تصادفی نبودن باقیماندها، این مدل حذف می شود.

۳- نمودار خود همبستگی جزئی سری سبزوار تا شاخص دوم معنی دار بوده(شکل ۱۴) بنابراین مدل اتورگرسیو ۲ را آزمون می کنیم.

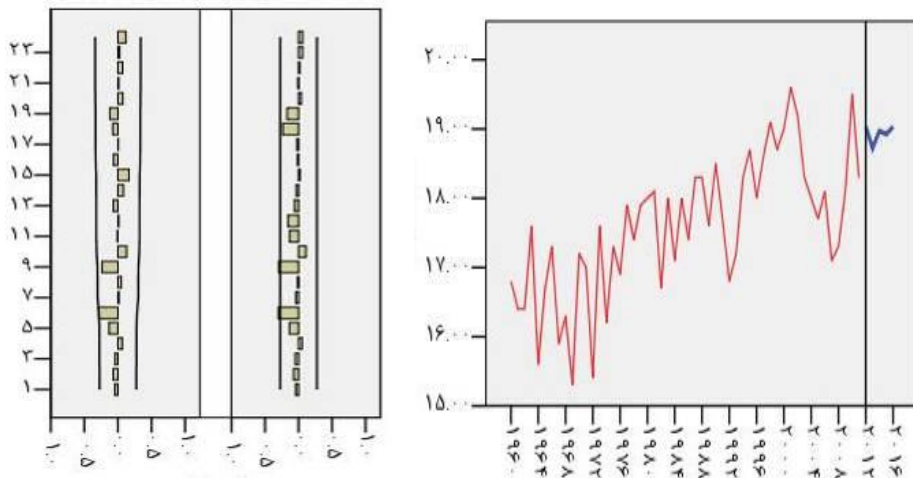


شکل (۱۴) نمودار PACF با تفاضل ۱ سبزوار

$$y_t = \phi_1 y_{t-1} + \phi_2 y_{t-2} + a_t \rightarrow y_t = -0.689 y_{t-1} - 0.22 y_{t-2} + a_t$$

(-4.9) (-1.7)

مقادیر قدر مطلق ϕ_1 و ϕ_2 به ترتیب $-4/9$ و $-1/7$ است که حضور ϕ_1 معنی‌دار، ولی حضور ϕ_2 معنی‌دار نیست، ضریب ثابت ϕ_0 به علت معنی‌دار نبودن نیز مدل را بهتر نکرد، بنابراین در بین مدل‌های ARIMA برازنده‌ترین مدل، AR(1,1,0) است که باقیمانده‌های این مدل در شکل ۱۶ تصادفی و مقدار ریشه میانگین مربعات خطأ ۰/۶۲ و قدرت توجیه این مدل ۰/۷۷ می‌باشد.



شکل (۱۶) نمودار مقادیر پیش‌بینی سری سبزوار

جدول (۳) مقادیر پیش‌بینی دمای میانگین ایستگاه‌ها

سال	مشهد	سبزوار	بیرون
۱۴/۶۶	۱۶/۸۶	۱۸/۸۳	۱۷/۲
۱۴/۷۱	۱۶/۷۱	۱۸/۹۱	۱۷/۰۹
۱۴/۷۳	۱۶/۷۳	۱۸/۸	۱۷/۲۵
۱۷	۱۷	۱۸/۹۵	۱۷/۲۷
۱۷/۰۹	۱۷/۰۹	۱۸/۹۵	۱۷/۳۷

سری ایستگاه تربت‌حیدریه و بار به علت تصادفی بودن سری، با مدل‌های ARIMA مدلسازی نشد، سری‌های را می‌توان با ARIMA مدلسازی کرد که سری روند معنی‌داری را نشان دهد.

نتیجه گیری

روندهای دمای میانگین، کمینه و بیشینه سالانه در شمال شرق ایران یکسان نیست، و حتی ایستگاه‌های واقع شده در محدوده شهری، رفتار متفاوت از ایستگاه‌های خارج شهر نشان می‌دهند، روند دمای میانگین، کمینه و بیشینه سالانه ایستگاه‌های شهری (مشهد، سبزوار) افزایشی است، در حالی که دمای میانگین سالانه ایستگاه‌های خارج از شهر (تربت‌حیدریه، بیرجند و بار) بدون روند بوده، حتی دمای بیشینه بار، تربت‌حیدریه، و کمینه بیرجند روند کاهشی معنی‌دار را نشان دادند. تنها روند افزایشی معنی‌دار در ایستگاه‌های خارج شهر، دمای کمینه ایستگاه بار است، سایر ایستگاه‌ها یا روند کاهشی و یا بدون روند می‌باشند. بنابراین فرض گرم شدن در شمال شرق ایران را نمی‌توان پذیرفت، روندهای افزایشی دمای برخی ایستگاه‌ها متأثر از جزیره حرارتی شهر می‌باشد. نتایج این تحقیق، نتایج تحقیقات انجام شده در مناطق مختلف جهان مانند رن و همکاران (۲۰۰۸) و فنگ و همکاران (۲۰۱۴) را تصدیق می‌کند که همگی به تفاوت روند دما در ایستگاه‌های داخل شهر و خارج از محدوده شهری اشاره داشته‌اند. اغلب تغییرات دما در شمال شرق ایران، محدود به میکروکلیمای شهری می‌باشد که به نظر می‌رسد اثر ساخت و ساز شهری، جذب انرژی خورشید توسط دیوارهای عمودی و آسفالت خیابانها، مصرف سوخت‌های فسیلی در حمل و نقل، صنایع و لوازم خانگی و غیره می‌باشد، بنابراین پیشنهاد می‌گردد محققین، تاثیرات شهر و گسترش آن را بر روندهای دما در ایران برآورد نمایند، و یا به گفته هانسن و همکاران (۲۰۰۱) تاثیرات شهرها بر روند دما در بررسی فرض گرم شدن زمین باید اصلاح شود.

منابع و مأخذ

۱. ابراهیمی، حسین و علیزاده، امین و جوانمرد، سهیلا (۱۳۸۴). بررسی وجود تغییر دما در دشت مشهد به عنوان نمایه تغییر اقلیم در منطقه، فصلنامه تحقیقات جغرافیایی، شماره ۷۹، ص. ۵.
۲. جهانبخش، سعید و ترایی، سیما (۱۳۸۳). بررسی تغییرات دما و بارش در ایران، فصلنامه تحقیقات جغرافیایی، شماره ۷۴، صص ۱۲۵-۱۰۴.
۳. جهانبخش، سعید و رحیمی بندر آبادی، سیما و حسینی، عباس و رضایی، سمیه و خوش زمان، تورج (۱۳۸۹). بررسی تغییرات بارندگی و دما در حوزه کرخه، چهارمین کنگره بین المللی جغرافیدانان جهان اسلام، زاهدان، ۱۳۸۹.
۴. حجازی زاده، زهرا بیگم و شیرخانی، علیرضا (۱۳۸۴). تحلیل و پیش‌بینی آماری خشکسالی و دوره‌های خشک کوتاه مدت در استان خراسان، پژوهش‌های جغرافیایی، شماره ۵۲، صص ۳۱-۱۳.
۵. رضینی، آرسته و ثقفیان، بهرام (۱۳۸۴). بررسی روند بارندگی سالانه در مناطق خشک و نیمه خشک ایران، آب و فاضلاب، شماره ۵۴، صص ۸۴-۷۳.
۶. عبدالله زاده، یحیی و عبدالله زاده، کاوه (۱۳۷۹). مفاهیم کاربردی آمار و احتمالات، نشر آیش، صص ۲۴۳-۲۳۹.
۷. عزیزی، قاسم و روشنی، محمود (۱۳۸۷). مطالعه تغییر اقلیم در سواحل جنوبی دریای خزر به روش من-کندا، پژوهش‌های جغرافیایی، شماره ۶۴، صص ۱۳-۲۸.
۸. عساکر، حسین (۱۳۸۶). تغییر اقلیم، انتشارات دانشگاه زنجان، ص ۱۲۷.
۹. علیجانی، بهلول و کاویانی، محمد رضا (۱۳۷۱). مبانی آب و هواشناسی، انتشارات سمت، صص ۱۰-۱۵.
۱۰. علیجانی، بهلول و بنی وهاب، علیرضا (۱۳۸۴). بررسی خشکسالی ترسالی و پیش‌بینی اقلیمی منطقه بیرون‌جند، پژوهش‌های جغرافیایی شماره ۵۳، ص ۱۳۷.
۱۱. علیزاده، امین و کمالی، غلامعلی (۱۳۸۱). اثرات تغییر اقلیم بر افزایش مصرف آب در کشاورزی در دشت مشهد، تحقیقات جغرافیایی، شماره ۶۵، صص ۱۸۹-۲۰۱.
۱۲. غیور، حسینعلی و عساکر، حسین (۱۳۸۴). کاربرد مدل‌های فوریه در برآورد دمای ماهانه و آینده نگری آن در مشهد، فصلنامه تحقیقات جغرافیایی شماره ۷۷، ص ۸۳.

۱۳. قائمی، هوشنگ و عساکر، حسین(۱۳۸۲). تحلیل آماری بر روند تغییرات دمای مشهد طی سده گذشته و رابطه آن با نوسان های اطلس شمالی، فصلنامه تحقیقات جغرافیایی، شماره ۷۱، ص ۳۷.

۱۴. میرموسوی، سید حسین (۱۳۸۷). مطالعه نوسانات دما و بارش سالانه در منطقه شمال غرب ایران، پژوهش های جغرافیایی طبیعی، شماره ۶۶، ص ۱۰۰-۸۷.

۱۵. نیرومند، حسینعلی و بزرگ نیا، ابوالقاسم(۱۳۸۴). سری های زمانی، دانشگاه پیام نور، ص ۱۷۴-۱۵۳.

Andreas. Taschetto and Matthew H. England (2009). *An analysis of late twentieth century trends in Australian rainfall*, International journal of climatology, 29, 791-807.

Bihart Onoz, mehmetcik bayazit, (2003). *the power of statistical tests for Trend Detection*, Turkish J.Eng.Env.Sci, 27,241-251.

Fang Feng, Junqin Guo, Landong Sun, Jing Wang, Xinpíng Wang (2014). *The effects of urbanization on temperature trends in different economic periods and geographical environments in northwestern China*. Theory Apple Climatol, 116:227-241.DOI 10.1007/s00704-013-0944-7.

Gurudeo Anand Tularam and Ilahhee Mahbub (2010). *Time Series Analysis of Rainfal and Temperature Interactions in Coastal Catchments*, Journal of Mathematics and Statistics,3: 372-380.

Hegrel, G C., Von Stroch, H.Hasselmaun,K. Santer. BD, Cubasch, U.and P.D.Jones (1996). *Detecting Greenhouse-gas- induced Climat Change with an Optimal Fingerprit Method*,Journal of Climate,9, 2281-2306.

Hansan, J.E., and Coauthors (2001). *A closer look at United States and Global surface temperature change*.J, Geophys.Res, 106, 23947-23963.

IPCC, (2001). *Climate Change,The IPCC Scientific Assessment, Houghton,J.T., Jenkins,G.J.,and Ephraums, J. J(ed)Cambridge University Press, Cambridge.*

IPCC, (2013). *Working Group I Contribution to the Fifth Assessment Report of the Intergovernmental Panel on Climate Change*.p, 27.

Lineheng Liang, peter.G Kershaw (1995). *Climate change in the Mackenzie Mountains*, N.W.T, Canada, CLIMATE RESEARCH, vol.5, 1-13.

Naill P.E, M.Momani (2009). *Time Series Analysis Model for Rainfall Data in Jordan: Case study for Using Time Series Analysis*, American Journal of Environmental Sciences, ۵, 599-604.

Olavi Karner, (2009). *ARIMA representation for daily solar irradiance and surface air temperature time series*, J.Atmospheric and solar Terrestrial physics, 71, 841-847.

Ren Guoyu, Zhoun Yaqing, Chuiziying, Zhou Jiangting, Zhang Aiying, Guo Jan, liu Xuefeng,(2008). *Urbanization effects on observed surface air temperature trends in north China*,American Meteorological Society,vol21,1333-1348,DOI:10.1175/ 2007 JC L I 1341.1

Shamsnia Seyed Amir, Naeem Shahidi, Ali Liaghat, Amirpouya Sarraf, Seyed Farnood Vahdat, (2011). *Modeling of Weather Parameters Using Stochastic Methods (ARIMA Model) (Case Study: Abadeh Region, Iran)* International Conference on Environment and Industrial Innovation, IPCBEE, vol.12, 282,285.

Sarraf Amirpouya, Seyed Farnood Vahdat, Azita Behbahaninia (2011). *Relative Humidity and Mean Monthly Temperature Forecasts in Ahwaz Station with ARIMA Model in time Series Analysis* International Conference Environment and Industrial Innovation, IPCBEE, vol.12, 149-153.

Tomozeix.R, Cacciamani.C, Pavan.V, Morgillo.A, and Busuioc.A, (2006). *Climate change Scenarios for surface temperature in Emilia-Romagna (Italy) obtained using statistical downscaling models*, Appl.Climatol, 10, 78-94.

http://www.ipcc.ch/publications_and_data/ar4/wg1/en/ch3,2007,p.102

XierLi, (2009). *Applying GLM Model and ARIMA Model to the Analysis of MonthlyTemperature of Stockholm*, Department of Economics and Society, Dalama University, 10, 1-24.